

## Упражнения

### Пример 1

Предложить разностную схему для решения смешанной задачи:

$$\left. \begin{aligned} \frac{\partial u}{\partial t} + a \frac{\partial u}{\partial x} &= b \frac{\partial^2 u}{\partial y^2} + f(t, x, y); \quad a, b = \text{const} > 0; \\ u(0, x, y) &= \varphi(x, y); u(t, 0, y) = \psi(t, y); 0 \leq t, x, y \leq 1; \\ u(t, x, 0) &= \chi_1(t, x); \quad u(t, x, 1) = \chi_2(t, x) \end{aligned} \right\} \quad (10.1.3)$$

на сетках  $D_h = \{(t^n, x_l, y_m) : t^n = n\tau, \tau N = 1, n = 0 \div N; x_l = lh_x, h_x L = 1, l = 0 \div L; y_m = mh_y, h_y M = 1, m = 0 \div M\}$  и исследовать её на аппроксимацию.

### Решение

Заменим частные производные во внутренних узлах сетки конечно-разностными отношениями, например,

$$\begin{aligned} \left( \frac{\partial u}{\partial t} \right)_{l,m}^n &\approx \frac{u_{l,m}^{n+1} - (u_{l+1,m}^n + u_{l-1,m}^n) / 2}{\tau}; \quad \left( \frac{\partial u}{\partial x} \right)_{l,m}^n \approx \frac{u_{l+1,m}^n - u_{l-1,m}^n}{2h_x}; \\ \left( \frac{\partial^2 u}{\partial y^2} \right)_{l,m}^n &\approx \frac{u_{l,m+1}^{n+1} - 2u_{l,m}^{n+1} + u_{l,m-1}^{n+1}}{h_y^2}; \end{aligned}$$

а на границе  $x = 1, 0 < y < 1 -$

$$\left( \frac{\partial u}{\partial t} \right)_{L,m}^n \approx \frac{u_{L,m}^{n+1} - u_{L,m}^n}{\tau}; \quad \left( \frac{\partial u}{\partial x} \right)_{L,m}^n \approx \frac{u_{L,m}^{n+1} - u_{L-1,m}^n}{h_x}; \quad \left( \frac{\partial^2 u}{\partial y^2} \right)_{L,m}^n \approx \frac{u_{L,m+1}^{n+1} - 2u_{L,m}^{n+1} + u_{L,m-1}^{n+1}}{h_y^2}$$

и после подстановки в дифференциальное уравнение задачи (10.1.3) получим разностную схему:

$$\left. \begin{aligned} &\frac{u_{l,m}^{n+1} - (u_{l+1,m}^n + u_{l-1,m}^n) / 2}{\tau} + a \frac{u_{l+1,m}^n - u_{l-1,m}^n}{2h_x} - b \frac{u_{l,m+1}^{n+1} - 2u_{l,m}^{n+1} + u_{l,m-1}^{n+1}}{h_y^2} + f_{l,m}^n; \\ &n = \overline{0, N-1}; l = \overline{1, L-1}; m = \overline{1, M-1}; \\ &u_{l,m}^0 = \varphi_{l,m}; l = \overline{0, L}; m = \overline{0, M}; \\ &u_{0,m}^n = \psi_m^n; n = \overline{1, N}; m = \overline{0, M}; \\ &u_{L,0}^n = (\chi_1)_L^n; n = \overline{1, N}; \\ &\frac{u_{L,m}^{n+1} - u_{L,m}^n}{\tau} + a \frac{u_{L,m}^n - u_{L-1,m}^n}{h_x} - b \frac{u_{L,m+1}^{n+1} - 2u_{L,m}^{n+1} + u_{L,m-1}^{n+1}}{h_y^2} + f_{L,m}^n; n = \overline{0, N-1}; m = \overline{1, M-1} \\ &u_{L,m}^n = (\chi_2)_L^n; n = \overline{1, N}; \\ &u_{l,0}^n = (\chi_1)_l^n; n = \overline{1, N}; l = \overline{1, L-1}; \\ &u_{l,M}^n = (\chi_2)_l^n; n = \overline{1, N}; l = \overline{1, L-1}. \end{aligned} \right\} \quad (10.1.4)$$

Для проверки корректности постановки разностных задач (10.1.4) сравним число уравнений  $N(L-1)(M-1)+(L+1)(M+1)+N(M+1)+N+N(M-1)+N+N(L-1)+N(L-1) = (N+1)(L+1)(M+1)$  с числом неизвестных значений сеточных функций  $(N+1)(L+1)(M+1)$ . Эти числа равны, и если уравнения системы (10.1.4) линейно независимы, то существует единственное решение разностной задачи. Определим невязку, заменив значения сеточной функции в (10.1.4) на соответствующие значения следа и вычтя из левых частей разностных уравнений правые части:

$$\delta f^{(h)} = \begin{cases} \frac{[u]_{l,m}^{n+1} - ([u]_{l+1,m}^n + [u]_{l-1,m}^n)/2}{\tau} + a \frac{[u]_{l+1,m}^n - [u]_{l-1,m}^n}{2h_x} - \\ - b \frac{[u]_{l,m+1}^{n+1} - 2[u]_{l,m}^{n+1} + [u]_{l,m-1}^{n+1}}{h_y^2} - f_{l,m}^n; n = \overline{0, N-1}; l = \overline{1, L-1}; m = \overline{1, M-1}; \\ [u]_{l,m}^0 - \varphi_{l,m}; l = \overline{0, L}; m = \overline{0, M}; \\ [u]_{0,m}^n - \psi_m^n; n = \overline{1, N}; m = \overline{0, M}; \\ [u]_{L,0}^n - (\chi_1)_L^n; n = \overline{1, N}; \\ \frac{[u]_{L,m}^{n+1} - [u]_{L,m}^n}{\tau} + a \frac{[u]_{L,m}^n - [u]_{L-1,m}^n}{h_x} - b \frac{[u]_{L,m+1}^{n+1} - 2[u]_{L,m}^{n+1} + [u]_{L,m-1}^{n+1}}{h_y^2} - f_{L,m}^n \\ n = \overline{0, N-1}; m = \overline{1, M-1}; \\ [u]_{L,M}^n - (\chi_2)_L^n; n = \overline{1, N}; \\ [u]_{l,0}^n - (\chi_1)_l^n; n = \overline{1, N}; l = \overline{1, L-1}; \\ [u]_{l,M}^n - (\chi_2)_l^n; n = \overline{1, N}; l = \overline{1, L-1}. \end{cases} \quad (10.1.5)$$

Воспользуемся разложениями значений следа в ряды Тейлора относительно узлов  $(n, l, m)$  и  $(n, L, m)$ :

$$\begin{aligned} [u]_{l,m}^{n+1} &= [u]_{l,m}^n + [\dot{u}_t]_{l,m}^n \tau + [\ddot{u}_t]_{l,m}^n \frac{\tau^2}{2} + \underline{O}(\tau^3), \\ [u]_{\pm 1, m}^n &= [u]_{l,m}^n \pm [\dot{u}_x]_{l,m}^n h_x + [u_{xx}^n]_{l,m}^n \frac{h_x^2}{2} \pm [u_{xxx}^n]_{l,m}^n \frac{h_x^3}{6} + \underline{O}(h_x^4), \\ [u]_{l, m \pm 1}^{n+1} &= [u]_{l,m}^n + [\dot{u}_t]_{l,m}^n \tau \pm [\dot{u}_y]_{l,m}^n h_y + [\ddot{u}_t]_{l,m}^n \frac{\tau^2}{2} + [u_{yy}^n]_{l,m}^n \frac{h_y^2}{2} \pm [u_{yyy}^n]_{l,m}^n \frac{h_y^3}{6} + \\ &\quad + \underline{O}(\tau^3 + h_y^4), \\ [u]_{L, m}^{n+1} &= [u]_{L, m}^n + [\dot{u}_t]_{L, m}^n \tau + [\ddot{u}_t]_{L, m}^n \frac{\tau^2}{2} + \underline{O}(\tau^3), \\ [u]_{L-1, m}^n &= [u]_{L, m}^n - [\dot{u}_x]_{L, m}^n h_x + [u_{xx}^n]_{L, m}^n \frac{h_x^2}{2} + \underline{O}(h_x^3), \\ [u]_{L, m \pm 1}^{n+1} &= [u]_{L, m}^n + [\dot{u}_t]_{L, m}^n \tau \pm [\dot{u}_y]_{L, m}^n h_y + [\ddot{u}_t]_{L, m}^n \frac{\tau^2}{2} + [u_{yy}^n]_{L, m}^n \frac{h_y^2}{2} \pm [u_{yyy}^n]_{L, m}^n \frac{h_y^3}{6} + \\ &\quad + \underline{O}(\tau^3 + h_y^4) \end{aligned}$$

и подставим их в (10.1.5), приведя подобные члены и учитывая, что след удовлетворяет дифференциальному уравнению (10.1.3):

$$\delta f^{(h)} = \begin{cases} C_{l,m}^n \frac{h^2}{\tau} + D_{l,m}^n \tau + E_{l,m}^n h^2; n = \overline{0, N-1}; l = \overline{1, L-1}; m = \overline{1, M-1}; \\ 0; l = \overline{0, L}; m = \overline{0, M}; \\ 0; n = \overline{1, N}; m = \overline{0, M}; \\ 0; n = \overline{1, N}; \\ C_{L,m}^n \tau + D_{L,m}^n h; n = \overline{0, N-1}; m = \overline{1, M-1}; \\ 0; n = \overline{1, N}; \\ 0; n = \overline{1, N}; l = \overline{1, L-1}; \\ 0; n = \overline{1, N}; l = \overline{1, L-1}. \end{cases}$$

Следовательно,  $\|\delta f^{(h)}\|_{F_h} \leq C_\tau \tau + C_h h + C \frac{h^2}{\tau}$  и разностная схема аппроксимирует на решении и дифференциальную задачу с порядком  $O\left(\tau + h + \frac{h^2}{\tau}\right)$ .

### Задачи

10.1.1. Для решения задачи Коши уравнения

$$\partial^2 u / \partial t^2 + a \partial^2 u / (\partial t \partial x) = f(t, x); u(0, x) = \varphi(x); \partial u(0, x) / \partial t = \psi(x); a = \text{const};$$

$$0 \leq t \leq 1; -\infty < x < +\infty \text{ на сетке } D_h = \{(t^n, x_l) : t^n = n\tau, \tau N = 1, n = 0 \div N;$$

$$x_l = lh, h = \text{const} > 0, l = 0; \pm 1; \dots; \pm L\} \text{ предложена разностная схема:}$$

$$(u_l^{n+1} - 2u_l^n + u_l^{n-1}) / \tau^2 + a(u_{l+1}^{n+1} - u_{l-1}^{n+1} - u_{l+1}^{n-1} + u_{l-1}^{n-1}) / (4\tau h) = f_l^n; n = \overline{1, N-1};$$

$$l = 0; \pm 1; \dots; \pm L \gg 1; u_l^0 = \varphi_l; -3u_l^0 + 4u_l^1 - u_l^2 = 2\tau\psi_l; l = 0; \pm 1; \dots; \pm L \gg 1.$$

Исследовать её на аппроксимацию.

10.1.2. Для решения задачи Коши уравнения

$$\partial^2 u / \partial t^2 + a \partial^2 u / (\partial t \partial x) = f(t, x); u(0, x) = \varphi(x); \partial u(0, x) / \partial t = \psi(x); a = \text{const};$$

$$0 \leq t \leq 1; -\infty < x < +\infty \text{ на сетке } D_h = \{(t^n, x_l) : t^n = n\tau, \tau N = 1, n = 0 \div N;$$

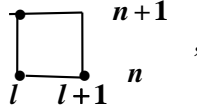
$$x_l = lh, h = \text{const} > 0, l = 0; \pm 1; \dots; \pm L\} \text{ предложена разностная схема:}$$

$$(u_l^{n+1} - 2u_l^n + u_l^{n-1}) / \tau^2 + a(u_{l+1}^{n+1} - u_{l-1}^{n+1} - u_{l+1}^{n-1} + u_{l-1}^{n-1}) / (2\tau h) = f_l^n; n = \overline{1, N-1};$$

$$l = 0; \pm 1; \dots; \pm L \gg 1; u_l^0 = \varphi_l; -3u_l^0 + 4u_l^1 - u_l^2 = 2\tau\psi_l; l = 0; \pm 1; \dots; \pm L \gg 1.$$

Исследовать её на аппроксимацию.

на сетках  $D_h = \{(t^n, x_l): t^n = n\tau, \tau N = 1, n = 0 \div N; x_l = lh, h = \text{const} > 0, l = 0, \pm 1, \dots, \pm L\}$ ,  
используя шаблон

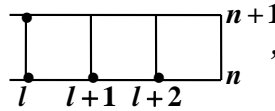


и исследовать её на аппроксимацию.

10.1.22. Предложить с помощью интерполяционно-характеристического метода разностную схему для решения задачи Коши:

$$\left. \begin{aligned} \frac{\partial u}{\partial t} - a \frac{\partial u}{\partial x} &= f(t, x); \quad a = \text{const} > 0; \\ u(0, x) &= \varphi(x); \quad 0 < t < 1; -\infty < x < +\infty \end{aligned} \right\}$$

на сетках  $D_h = \{(t^n, x_l): t^n = n\tau, \tau N = 1, n = 0 \div N; x_l = lh, h = \text{const} > 0, l = 0, \pm 1, \dots, \pm L\}$ ,  
используя шаблон



и исследовать её на аппроксимацию.

## 10.2. Спектральный признак устойчивости

Рассмотрим разностную задачу (10.1.13) и допустим, что полученное решение содержит погрешность, связанную с неточностью самих вычислений и округлениями. Представим решение в виде  $u^{(h)} = (u)^{(h)} + \Delta^{(h)}$ , где  $(u)^{(h)}$  – точное решение разностной задачи,  $\Delta^{(h)}$  – погрешность, и подставим его в (10.1.13). В результате имеем

$$L_n \Delta^{(h)} = 0. \quad (10.2.1)$$

Отобразим отрезок  $x \in [0, hL]$  на отрезок  $y \in [0, 2\pi L/(L+1)]$ . Точки  $x_l$  и  $y_l$  связаны соотношением  $y_l = 2\pi x_l / [h(L+1)]$ ,  $y_l = 2\pi l / (L+1)$ ,  $x_l = hl, l = \overline{0, L}$ .

Введём на сетке  $D_y = \{y_l : y_l = 2\pi l / (L+1), l = \overline{0, L}\}$  скалярное произведение сеточных функций  $u^{(h)}, v^{(h)}$ , определённых на ней как

$$(u^{(h)}, v^{(h)}) = \frac{1}{L+1} \sum_{l=0}^L u_l \bar{v}_l, \text{ и обратим внимание на то, что функции}$$

$\psi_l^{(k)} = \exp\{i2\pi kl/[L+1]\}, l = \overline{0, L}, k = \overline{-m, m}, 2m = L$  образуют ортонормированный базис  $(\psi^{(k)}, \psi^{(p)}) = \frac{\sum_{l=0}^L \exp\{i2\pi(k-p)l/[L+1]\}}{L+1} = \frac{1 - e^{i2\pi(k-p)}}{1 - e^{i2\pi(k-p)/(L+1)}} =$   
 $= \begin{cases} 1, & \text{если } k = p \\ 0, & \text{если } k \neq p \end{cases}$ . Обозначим через  $\Delta^{(n)}$  сеточную функцию, определённую

на сетке  $D_y$  и совпадающую с ней  $\Delta^{(h)}$  на  $n$ -временном слое. Представим  $\Delta^{(n)}$  в виде разложения по ортонормированному базису

$$\Delta_l^n = \sum_{k=-m}^m \lambda_k^n \exp\{i2\pi kl/[L+1]\}, l = \overline{0, L}, \lambda_k^n = \frac{\sum_{l=0}^L \Delta_l^n \exp\{i2\pi kl/[L+1]\}}{L+1}.$$

Следовательно, справедливо  $\Delta_l^{n+1} = \sum_{k=-m}^m \lambda_k^{n+1} \exp\{i2\pi kl/[L+1]\}, l = \overline{0, L}$ . Подставим эти выражения в (10.2.1):

$$\sum_{k=-m}^m \left[ \frac{\lambda_k^{n+1}/\lambda_k^n - 1}{\tau} + a \frac{i \cdot \sin \frac{2\pi k}{L+1}}{h} + a^2 \frac{2\tau \cdot \sin^2 \frac{\pi k}{L+1}}{h^2} \right] \cdot \lambda_k^n e^{\frac{i2\pi kl}{L+1}} = 0. \quad (10.2.2)$$

Сделаем замены  $\lambda_k = \lambda_k^{n+1}/\lambda_k^n$ ;  $\alpha_k = 2\pi k/[L+1]$  и скалярно умножим (10.2.2) на базисную функцию  $\psi^{(p)} = \exp\{i2\pi pl/[L+1]\}, l = \overline{0, L}, p = \overline{-m, m}$ . В результате ортонормированности базисных функций получаем

$$\left[ \frac{\lambda_p - 1}{\tau} + a \frac{i \sin \alpha_p}{h} + a^2 \frac{2\tau \sin^2(\alpha_p/2)}{h^2} \right] = 0, p = \overline{-m, m} \text{ или, разрешая относительно } \lambda_p, \text{ имеем}$$

$$\lambda_p = 1 - a \frac{i \tau \sin \alpha_p}{h} - a^2 \frac{2\tau^2 \sin^2(\alpha_p/2)}{h^2}, p = \overline{-m, m}. \quad (10.2.3)$$

Для получения любой сколь угодно малой погрешности необходимо устремлять  $L \rightarrow \infty, N \rightarrow \infty$ , а следовательно, и  $m \rightarrow \infty$ . Поэтому заменим  $\alpha_p, p = \overline{-m, m} \Rightarrow \alpha, -\infty < \alpha < +\infty$ ;  $\lambda_p \Rightarrow \lambda_\alpha$  и подставим в (10.2.3):

$$\lambda_\alpha = 1 - a \frac{i \tau \sin \alpha}{h} - a^2 \frac{2\tau^2 \sin^2(\alpha/2)}{h^2}, -\infty < \alpha < +\infty. \quad (10.2.4)$$

Для того чтобы не происходило неограниченного роста погрешности при  $N \rightarrow \infty$ , нужно потребовать  $|\lambda_\alpha| \leq 1, -\infty < \alpha < +\infty$ . Условие  $|\lambda_\alpha| \leq 1$  эквивалентно  $|\lambda_\alpha|^2 = \lambda_\alpha \bar{\lambda}_\alpha \leq 1, -\infty < \alpha < +\infty$ , или с учётом (10.2.4):

$$|\lambda_\alpha|^2 = \left[ 1 - a \frac{i\tau \sin \alpha}{h} - a^2 \frac{2\tau^2 \sin^2(\alpha/2)}{h^2} \right] \left[ 1 + a \frac{i\tau \sin \alpha}{h} - a^2 \frac{2\tau^2 \sin^2(\alpha/2)}{h^2} \right] =$$

$$= 1 - a^2 \frac{4\tau^2 \sin^2(\alpha/2)}{h^2} + a^4 \frac{4\tau^4 \sin^4(\alpha/2)}{h^4} + a^2 \frac{4\tau^2 \sin^2(\alpha/2) \cos^2(\alpha/2)}{h^2} \leq 1.$$

Решая это неравенство и принимая во внимание  $-\infty < \alpha < +\infty$ , находим

$$-1 + a^2 \frac{\tau^2}{h^2} \leq 0 \Rightarrow \tau \leq \frac{h}{a}. \quad (10.2.5)$$

Следовательно, спектральным условием устойчивости для разностной схемы (10.1.13) является неравенство (10.2.5).

### Спектральный признак устойчивости

Модуль отношения амплитуд одной и той же гармоники при переходе с одного вычислительного слоя на другой не должен быть больше единицы  $|\lambda_\alpha| \leq 1$  для всех возможных номеров гармоник разложения сеточной функции ошибки в конечный ряд Фурье.

### Упражнения

#### Пример 1

В примере 1 главы 10.1. была предложена разностная схема:

$$\left. \begin{aligned} & \frac{u_{l,m}^{n+1} - (u_{l+1,m}^n + u_{l-1,m}^n)/2}{\tau} + a \frac{u_{l+1,m}^n - u_{l-1,m}^n}{2h_x} = b \frac{u_{l,m+1}^{n+1} - 2u_{l,m}^{n+1} + u_{l,m-1}^{n+1}}{h_y^2} + f_{l,m}^n; \\ & n = \overline{0, N-1}; l = \overline{1, L-1}; m = \overline{1, M-1}; \\ & u_{l,m}^0 = \varphi_{l,m}; l = \overline{0, L}; m = \overline{0, M}; \\ & u_{0,m}^n = \psi_m^n; n = \overline{1, N}; m = \overline{0, M}; \\ & u_{L,0}^n = (\chi_1)_L^n; n = \overline{1, N}; \\ & \frac{u_{L,m}^{n+1} - u_{L,m}^n}{\tau} + a \frac{u_{L,m}^n - u_{L-1,m}^n}{h_x} = b \frac{u_{L,m+1}^{n+1} - 2u_{L,m}^{n+1} + u_{L,m-1}^{n+1}}{h_y^2} + f_{L,m}^n; n = \overline{0, N-1}; m = \overline{1, M-1} \\ & u_{L,M}^n = (\chi_2)_L^n; n = \overline{1, N}; \\ & u_{l,0}^n = (\chi_1)_l^n; n = \overline{1, N}; l = \overline{1, L-1}; \\ & u_{l,M}^n = (\chi_2)_l^n; n = \overline{1, N}; l = \overline{1, L-1} \end{aligned} \right\}$$

для решения смешанной задачи

$$\left. \begin{aligned} & \partial u / \partial t + a \partial u / \partial x = b \partial^2 u / \partial y^2 + f(t, x, y); \quad a, b = \text{const} > 0; \\ & u(0, x, y) = \varphi(x, y); u(t, 0, y) = \psi(t, y); 0 \leq t, x, y \leq 1; \\ & u(t, x, 0) = \chi_1(t, x); \quad u(t, x, 1) = \chi_2(t, x) \end{aligned} \right\}$$

на сетках  $D_h = \{(t^n, x_l, y_m) : t^n = n\tau, \tau N = 1, n = 0 \div N; x_l = lh_x, l = 0 \div L;$

$h_x L = 1, y_m = mh_y, h_y M = 1, m = 0 \div M \}$ . Исследовать её на спектральную устойчивость.

### Решение

При выполнении практических исследований на спектральную устойчивость, имея в виду ранее приведённые рассуждения о преобразованиях области интегрирования и конечных рядах Фурье для погрешностей, поступают следующим образом. Заменяют в основной однородной подсистеме уравнений разностной схемы, у которой правая часть равняется нулю, например, в данном случае

$$\left. \begin{aligned} \frac{u_{l,m}^{n+1} - (u_{l+1,m}^n + u_{l-1,m}^n) / 2}{\tau} + a \frac{u_{l+1,m}^n - u_{l-1,m}^n}{2h_x} - b \frac{u_{l,m+1}^{n+1} - 2u_{l,m}^{n+1} + u_{l,m-1}^{n+1}}{h_y^2} = 0; \\ n = \overline{0, N-1}; l = \overline{1, L-1}; m = \overline{1, M-1}, \end{aligned} \right\}$$

значения  $u_{l,m}^n$  на величины  $\lambda_{\alpha,\beta}^n e^{i(\alpha l + \beta m)}$ ,  $-\infty < \alpha, \beta < +\infty$  и требуют, чтобы выполнялось спектральное условие устойчивости

$|\lambda_{\alpha,\beta} = \lambda_{\alpha,\beta}^{n+1} / \lambda_{\alpha,\beta}^n| \leq 1, -\infty < \alpha, \beta < +\infty$ . Тогда после преобразований получаем

$$\frac{\lambda_{\alpha,\beta} - \cos \alpha}{\tau} + a \frac{i \sin \alpha}{h_x} + \frac{i 4b \lambda_{\alpha,\beta} \sin^2(\beta/2)}{h_y^2} = 0, -\infty < \alpha, \beta < +\infty \text{ или, разрешая}$$

$$\text{относительно } \lambda_{\alpha,\beta} = \frac{\cos \alpha - a \frac{i \tau \sin \alpha}{h_x}}{1 + \frac{i 4b \tau \sin^2(\beta/2)}{h_y^2}}, \quad -\infty < \alpha, \beta < +\infty. \text{ Пользуясь тем,}$$

что условие  $|\lambda_{\alpha,\beta}| \leq 1$  эквивалентно  $|\lambda_{\alpha,\beta}|^2 = \lambda_{\alpha,\beta} \bar{\lambda}_{\alpha,\beta} \leq 1, -\infty < \alpha, \beta < +\infty$ ,

умножая на комплексно-сопряжённое значение к величине  $\lambda_{\alpha,\beta}$ , получаем

$$\cos^2 \alpha + a^2 \frac{\tau^2 \sin^2 \alpha}{h_x^2} \leq 1 + \frac{16b^2 \tau^2 \sin^4(\beta/2)}{h_y^4}, \quad -\infty < \alpha, \beta < +\infty \text{ или оконча-}$$

$$\text{тельно } -\sin^2 \alpha \left( 1 - a^2 \frac{\tau^2}{h_x^2} \right) \leq \frac{16b^2 \tau^2 \sin^4(\beta/2)}{h_y^4}, \quad -\infty < \alpha, \beta < +\infty.$$

Это неравенство выполняется при любых  $-\infty < \alpha, \beta < +\infty$ , если справедливо соотношение  $\tau \leq \frac{h_x}{a}$ , которое и будет спектральным условием устойчивости для рассматриваемой задачи.